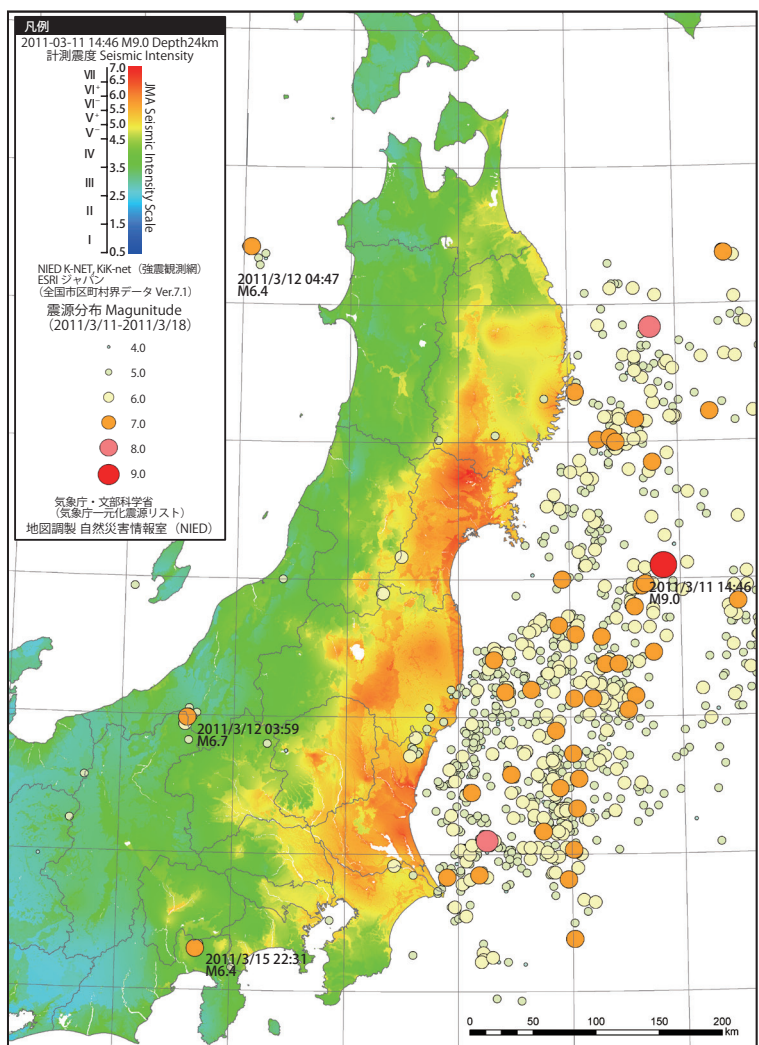


口絵 1 東北地方太平洋沖地震の震源から最も近い K-NET 牡鹿 (MYG011, 宮城県石巻市鮎川浜) で観測した 2011 年 3 月 11 日 14:46:27 の強震記録

Fig. 1 Strong motion seismogram recorded at K-NET Oshika station (Ayukawahama, Ishinomaki City, Miyagi Prefecture), which is the closest station to the epicenter of the 2011 off the Pacific coast of Tohoku Earthquake (March 11, 2011 14:46:27).



口絵 2 2011 年 3 月 11 日 14 : 46 の本震 計測震度と 2011 年 3 月 11 日 ~ 3 月 18 日までの震源分布

Fig. 2 Seismic intensity map of the main-shock on March 11, 2011, and epicenter distribution from March 11 to 18, 2011.



口絵 3 岩手県宮古市, 宮古市役所 津波襲来時の様子 [ 撮影 : 2011 年 3 月 11 日 15:23, 提供 : 宮古市役所 (311 まるごとアーカイブス) ]

Fig. 3 Miyako city hall, Miyako City, Iwate Prefecture. Tsunami attacked Miyako City [Taken on March 11, 2011, 15:23 JST, Miyako City (311 Marugoto Archives Project)].



口絵 4 宮城県南三陸町歌津 RC ヘリによる低空空撮 [ 撮影 : 2011 年 4 月 12 日 ]

Fig. 4 Utatsu, Minamisanriku Town, Miyagi Prefecture, Low-altitude aerial photograph by RC helicopter camera [Taken on April 12, 2011].



口絵 5 千葉県香取市佐原，香取市保健センター 地盤液状化による地盤沈下 [撮影：2011年7月21日]  
 Fig. 5 Sawara, Katori City, Chiba Prefecture. Subsidence caused by liquefaction [Taken on July 21, 2011].



口絵 6 新潟県十日町市 2011年3月12日長野県北部地震による雪崩で被災した建物 [撮影：2011年3月13日]  
 Fig. 6 Tokamachi City, Niigata Prefecture. Building damaged by the snowslide triggered by the North Nagano earthquake occurred on March 12, 2011 [Taken on March 13, 2011].



口絵 7 2011年4月11日17:16 [M7.0] 福島県浜通りの地震により発生した石住地すべり [撮影:2011年4月14日].  
地震発生4日後の2011年4月16日,土砂の下敷きになっていた車両が発見され,1名の死者が確認された.  
Fig. 7 Ishizumi landslide occurred by the Fukushima-ken Hamadori earthquake on April 11, 2011 17:16 JST (M7.0) [Taken  
on April 14, 2011]. One body and a car found after 4 days under the debris of landslide.



口絵 8 防災科学技術研究所による災害情報ボランティア活動の様子 [撮影:2011年3月24日]  
Fig. 8 Disaster information volunteers activity by NIED [Taken on March 24, 2011].